

### III-42 平板性を考慮したケーソン構造物の解法

室蘭工業大学 正員 工博 能町 純雄  
北海道土木部港湾課 正員 O石倉 建治

著者は、さきにケーソンの側壁を鉛直方向にはカンティレバー性を、水平方向にはラーメン性を有するものと仮定し、平板の基礎微分方程式において撓みの項を省略し、撓みを  $x$  方向には未知関数  $f(x)$  のみで、 $y$  方向にはカンティレバーの境界条件を満足する直交関数  $Y_m$  のみで表わされる二つの関数の積をもつて表わされるものとし、荷重項は  $Y_m$  で直交分解し、 $f(x)$  を求め、 $f(x)$  中に含まれる積分未知数  $B_m$  を板の両端の条件、すなわちラーメン性を満足するようにして決定し、 $\omega$  に撓み  $w$ 、モーメント  $M_x, M_y$  等を求めることにつき述べ、且つ一部その実験も行った<sup>1)</sup>。

今回は、同様の方法をもつて、図-1 のようにケーソンが隔壁により多くの部屋に分割され、各底面は任意の形状をなし、且つ各隔壁には夫々任意の静水圧荷重がかかるときの一般解を求めた。

今、任意の隔壁  $r$  について考える。基本微分方程式は

$$(1) \quad N \left( \frac{\partial^4 w^{(r,i)}}{\partial x^4} + \frac{\partial^4 w^{(r,i)}}{\partial y^4} \right) = q_{xy} = q_{r,i} \left( 1 - \frac{y}{b} \right)$$

$\omega$  に、 $N$  は板の曲げ剛さ、 $q_{xy}$  は任意の荷重であるが、 $\omega$  では  $q_{r,i}$  を  $x$  に関する任意の関数とする。その特別の場合が  $q_{r,i} = q = \text{const.}$  で静水圧荷重である。板  $r$  の撓み  $w^{(r,i)}$  を

$$(2) \quad w^{(r,i)} = \sum_m Y_m f_m^{(r,i)}(x)$$

とおく、但し、 $Y_m$  は前述のような直交関数である<sup>1)</sup>。(1)、(2) より

$$(3) \quad \sum_m Y_m \left( \frac{\partial^4 f_m^{(r,i)}}{\partial x^4} + \frac{\beta_m^4}{b^4} f_m^{(r,i)} \right) = \frac{q_{r,i}}{N} \left( 1 - \frac{y}{b} \right)$$

荷重項を  $Y_m$  で直交分解し、 $f_m^{(r,i)}$  の方程式を作れば、

$$(4) \quad \frac{\partial^4 f_m^{(r,i)}}{\partial x^4} + \frac{\beta_m^4}{b^4} f_m^{(r,i)} = \frac{q_{r,i}}{N} \left( 1 - \frac{y}{b} \right)$$

$\omega$  で、板の境界条件は  $x=0, x=a$  で撓みがないから  $f_{x=0}^{(r,i)} = f_{x=a}^{(r,i)} = 0$  である。然し、形状も荷重も  $x$  方向には任意であるため、板の両端におけるモーメントは対称にはならない。従って、これらの条件を満足せしめる (4) の解は

$$(5) \quad f_m^{(r,i)}(x) = \frac{q_{r,i} \cdot b^4}{N \beta_m^4} \left( 1 - Q_m^{(r,i)}(3) \right) - \frac{b^2}{\beta_m^2} H_m^{(r,i)}(1-3) \cdot B_{m,i} - \frac{b^2}{\beta_m^2} H_m^{(r,i)}(3) \cdot B_{m,r}$$

となる。 $\omega$  に

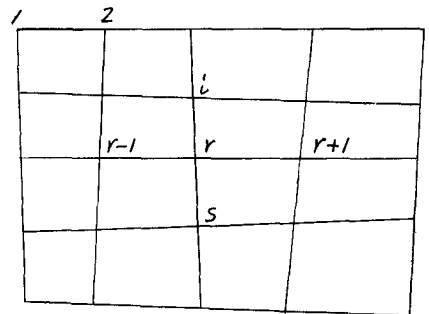


図-1

$$(6) \quad H_m(\xi) = \frac{\sinh \frac{\pi C_m}{\sqrt{2}} (2-\xi) \sin \frac{\pi C_m}{\sqrt{2}} \xi - \sinh \frac{\pi C_m}{\sqrt{2}} \xi \sin \frac{\pi C_m}{\sqrt{2}} (2-\xi)}{\cosh \sqrt{2} \pi C_m - \cos \sqrt{2} \pi C_m}, \quad \xi = \frac{x}{a}, \quad \pi C_m = \frac{a}{b} \beta_m$$

故に、擾みは

$$(7) \quad \omega^{(r,i)} = b^2 \sum_m \frac{Y_m}{\beta_m^2} \left\{ \frac{q_{r,i} b^2}{N} \frac{A_m}{\beta_m^2} (1 - Q_m(\xi)) - H_m^{(r,i)} B_{m,i} - H_m^{(r,i)} B_{m,r} \right\}$$

モーメントは

$$(8) \quad M_x^{(r,i)} = -N \frac{\partial^2 \omega^{(r,i)}}{\partial x^2} \\ = \sum_m Y_m \left\{ q_{r,i} b^2 \frac{A_m}{\beta_m^2} P_m^{(r,i)} + G_m^{(r,i)} B_{m,i} - G_m^{(r,i)} B_{m,r} \right\}$$

$$(9) \quad M_y^{(r,i)} = -N \frac{\partial^2 \omega^{(r,i)}}{\partial y^2} \\ = -\sum_m Y_m \left\{ q_{r,i} b^2 \frac{A_m}{\beta_m^2} (1 - Q_m(\xi)) - H_m^{(r,i)} B_{m,i} - H_m^{(r,i)} B_{m,r} \right\}$$

上式中、積分未知数  $B_{m,r}^{(r,i)}$ ,  $B_{m,i}^{(r,i)}$  を決定するのに、板の両端  $r, i$  における slope を夫々  $\theta_r, \theta_i$  とすれば、それらは次式のように表わされる。

$$(10) \quad 2 J_1^{(r,i)} B_{m,i} - J_0^{(r,i)} B_{m,r} + \frac{q_{r,i} b^2}{N} \frac{A_m}{\beta_m^2} K_0^{(r,i)} = \frac{\sqrt{2} \beta_m}{b} \theta_r$$

$$(11) \quad J_0^{(r,i)} B_{m,i} - 2 J_1^{(r,i)} B_{m,r} - \frac{q_{r,i} b^2}{N} \frac{A_m}{\beta_m^2} K_0^{(r,i)} = \frac{\sqrt{2} \beta_m}{b} \theta_i$$

よって

$$(13) \quad \begin{cases} J_0^{(r,i)} = \frac{\sinh \sqrt{2} \pi C_m^{(r,i)} - \sin \sqrt{2} \pi C_m^{(r,i)}}{\cosh \sqrt{2} \pi C_m^{(r,i)} - \cos \sqrt{2} \pi C_m^{(r,i)}}, & J_1^{(r,i)} = \frac{\sinh \frac{\pi C_m^{(r,i)}}{\sqrt{2}} \cos \frac{\pi C_m^{(r,i)}}{\sqrt{2}} - \cosh \frac{\pi C_m^{(r,i)}}{\sqrt{2}} \sin \frac{\pi C_m^{(r,i)}}{\sqrt{2}}}{\cosh \sqrt{2} \pi C_m^{(r,i)} - \cos \sqrt{2} \pi C_m^{(r,i)}} \\ K_0^{(r,i)} = \frac{\sinh \frac{\pi C_m^{(r,i)}}{\sqrt{2}} - \sin \frac{\pi C_m^{(r,i)}}{\sqrt{2}}}{\cosh \frac{\pi C_m^{(r,i)}}{\sqrt{2}} + \cos \frac{\pi C_m^{(r,i)}}{\sqrt{2}}} \end{cases}$$

(10), (11) より、板の両端 (又は節点) における積分未知数  $B_{m,r}^{(r,i)}$ ,  $B_{m,i}^{(r,i)}$  を  $\theta_r, \theta_i$  で表わせば

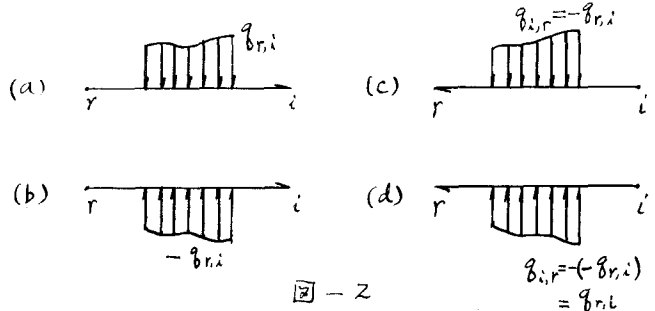
$$(14) \quad B_{m,r}^{(r,i)} = a_m^{(r,i)} \theta_r + b_m^{(r,i)} \theta_i - C_m^{(r,i)}$$

$$(15) \quad B_{m,i}^{(r,i)} = b_m^{(r,i)} \theta_r - a_m^{(r,i)} \theta_i - C_m^{(r,i)}$$

の形となる、ただし

$$(16) \quad \begin{cases} a_m^{(r,i)} = a_m^{(i,r)} = \frac{\sqrt{2} \beta_m J_1^{(r,i)}}{b \{4(J_1^{(r,i)})^2 - (J_0^{(r,i)})^2\}}, & b_m^{(r,i)} = b_m^{(i,r)} = \frac{2\sqrt{2} \beta_m J_0^{(r,i)}}{b \{4(J_1^{(r,i)})^2 - (J_0^{(r,i)})^2\}} \\ C_m^{(r,i)} = -C_m^{(i,r)} = \frac{q_{r,i} b^2 A_m}{N \beta_m^2} K_0^{(r,i)} \cdot \frac{2 J_1^{(r,i)} + J_0^{(r,i)}}{\{4(J_1^{(r,i)})^2 - (J_0^{(r,i)})^2\}} \end{cases}$$

ここで、 $C_m^{(r,i)}$ ,  $C_m^{(i,r)}$  は荷重項で、座標の進行方向の左側に荷重があるときを正、右側にあるときを負と規約する。この関係は図一2 (a), (b) 又は (c), (d) である。故に、 $C_m^{(r,i)}$  の中には  $q_{r,i}$  の符号を含めて考える。又同一



図一2

の荷重状態であっても，図-2 (a), (c) 又は (b), (d) のように座標の進行方向，換言すれば座標の原点を  $r$  にとるか， $i$  にとるかにより  $\theta$  の符号を異にする。

以上の規約に従うこととして，図-1 の任意の板  $r$   $i$  の節点  $r$  (図-3) におけるモーメントの総和が 0 という条件から (14) を用い

$$(17) \quad (a_m^{(r,i)} + a_m^{(r,r-1)} + a_m^{(r,s)} + a_m^{(r,r+1)}) \cdot \theta_r + (b_m^{(r,i)} \cdot \theta_i + b_m^{(r,r-1)} \cdot \theta_{r-1} + b_m^{(r,r+1)} \cdot \theta_{r+1} + b_m^{(r,s)} \cdot \theta_s) - (c_m^{(r,i)} + c_m^{(r,r-1)} + c_m^{(r,s)} + c_m^{(r,r+1)}) = 0$$

$$(18) \quad \begin{cases} a_m^{(r)} = a_m^{(r,i)} + a_m^{(r,r-1)} + a_m^{(r,s)} + a_m^{(r,r+1)} \\ c_m^{(r)} = c_m^{(r,i)} + c_m^{(r,r-1)} + c_m^{(r,s)} + c_m^{(r,r+1)} \end{cases}$$

とおけば，

$$(19) \quad b_m^{(r,i)} \cdot \theta_i + b_m^{(r,r-1)} \cdot \theta_{r-1} + a_m^{(r)} \cdot \theta_r + b_m^{(r,r+1)} \cdot \theta_{r+1} + b_m^{(r,s)} \cdot \theta_s = c_m^{(r)}$$

これは恰も *joint equation* に相当するもので，方程式の数は，未知数である節点における *slope*  $\theta$  の数と一致する。故にこの連立方程式は解かれる。そして， $\theta$  に関する連立方程式の各係数の間には一定の規則正しい法則が成立し，従って，機械的作表法が可能となるもので，その一例として，図-4 (a) の場合 (節点番号のつけ方は図-4 (b)) は表-1 のようになる。番号を図-5 のようにすれば，表-2 のような形となる。

$\theta$  を求めれば，(14)，(15) により積分未知数  $B_m$  が求まり，これが求まれば，(7) により撓みか，(8)，(9) によりモーメントが求まる。ケーソンの形状，荷重が対称のときは未知数  $\theta$  は  $1/2$  以下になり，表は極めて簡単となる。但し， $\theta$  や  $B_m$  は無限級数である。

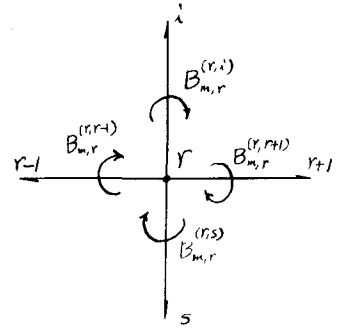
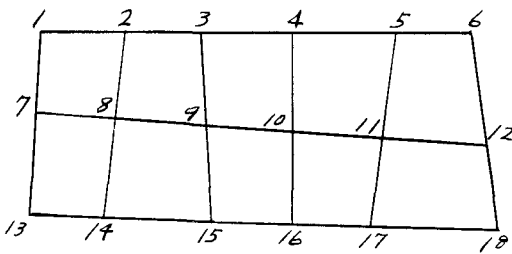
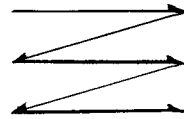


図-3



(a)



(b)

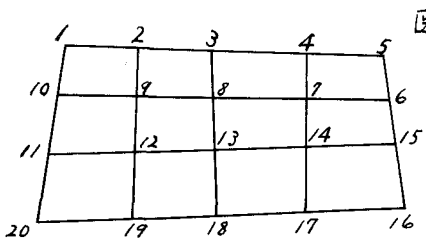
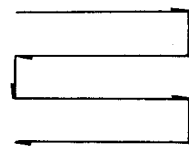


図-4

(a)



(b)

図-5

番号	方程式左辺																		右辺	
	$\sigma_1$	$\sigma_2$	$\sigma_3$	$\sigma_4$	$\sigma_5$	$\sigma_6$	$\sigma_7$	$\sigma_8$	$\sigma_9$	$\sigma_{10}$	$\sigma_{11}$	$\sigma_{12}$	$\sigma_{13}$	$\sigma_{14}$	$\sigma_{15}$	$\sigma_{16}$	$\sigma_{17}$	$\sigma_{18}$		$C_m^{(1)}$
1	$a_m^{(1)}$	$b_m^{(2)}$					$b_m^{(1,2)}$													$C_m^{(1)}$
2	$b_m^{(1,2)}$	$a_m^{(2)}$	$b_m^{(2,3)}$					$b_m^{(2,3)}$												$C_m^{(2)}$
3		$b_m^{(2,3)}$	$a_m^{(3)}$	$b_m^{(3,4)}$					$b_m^{(3,7)}$											$C_m^{(3)}$
4			$b_m^{(3,7)}$	$a_m^{(4)}$	$b_m^{(4,5)}$					$b_m^{(4,10)}$										
5				$b_m^{(4,5)}$	$a_m^{(5)}$	$b_m^{(5,6)}$					$b_m^{(5,10)}$									
6					$b_m^{(5,6)}$	$a_m^{(6)}$	$b_m^{(6,7)}$					$b_m^{(6,13)}$								
7	$b_m^{(4,7)}$					$b_m^{(6,7)}$	$a_m^{(7)}$	$b_m^{(7,8)}$					$b_m^{(7,13)}$							
8		$b_m^{(2,8)}$					$b_m^{(7,8)}$	$a_m^{(8)}$	$b_m^{(8,9)}$					$b_m^{(8,16)}$						
9			$b_m^{(3,9)}$					$b_m^{(8,9)}$	$a_m^{(9)}$	$b_m^{(9,10)}$					$b_m^{(9,15)}$					$C_m^{(9)}$
10				$b_m^{(4,10)}$					$b_m^{(9,10)}$	$a_m^{(10)}$	$b_m^{(10,11)}$					$b_m^{(10,16)}$				$C_m^{(10)}$
11					$b_m^{(5,11)}$					$b_m^{(10,11)}$	$a_m^{(11)}$	$b_m^{(11,12)}$						$b_m^{(11,17)}$		
12						$b_m^{(6,12)}$					$b_m^{(11,12)}$	$a_m^{(12)}$	$b_m^{(12,13)}$						$b_m^{(12,18)}$	
13							$b_m^{(7,13)}$					$b_m^{(12,13)}$	$a_m^{(13)}$	$b_m^{(13,14)}$						
14								$b_m^{(8,14)}$					$b_m^{(13,14)}$	$a_m^{(14)}$	$b_m^{(14,15)}$					
15									$b_m^{(9,15)}$					$b_m^{(14,15)}$	$a_m^{(15)}$	$b_m^{(15,16)}$				
16										$b_m^{(10,16)}$					$b_m^{(15,16)}$	$a_m^{(16)}$	$b_m^{(16,17)}$			$C_m^{(16)}$
17											$b_m^{(11,17)}$					$b_m^{(16,17)}$	$a_m^{(17)}$	$b_m^{(17,18)}$		$C_m^{(17)}$
18												$b_m^{(12,18)}$					$b_m^{(17,18)}$	$a_m^{(18)}$		$C_m^{(18)}$

表 - 1

1) 能町純雄, 石倉建治: ケーソン構造物の実用的近似解法とその実験について 技術資料(土木学会北海道支部) 第16号 昭35.2

番号	方程式左辺																		右辺
	$\sigma_1$	$\sigma_2$	$\sigma_i$														$\sigma_n$	$C_m^{(n)}$	
1																			
2																			
$\vdots$																			
$i$																			
$\vdots$																			
$n$																			

表 - 2